

# تأثیر نسبت پرشدن بر عملکرد و ضریب انتقال حرارت در تبخیرکننده و چگالنده ترموسیفون

## (لوله گرمایی بدون فتیله)

مسعود رحیمی\* و حسن میرشاھی

دانشگاه رازی، دانشکده مهندسی، گروه مهندسی شیمی، مرکز تحقیقات CFD

تاریخ ثبت اولیه: ۱۳۸۷/۷/۱۴، تاریخ دریافت نسخه اصلاح شده: ۱۳۸۷/۷/۲۵، تاریخ پذیرش قطعی: ۱۳۸۷/۱۰/۵

**چکیده** ترموسیفون، به دلیل ویژگی های منحصر به فرد، جایگاه ویژه ای در سیستم های بهینه سازی مصرف و بازیافت انرژی یافته است. این مقاله، به بررسی تأثیر نسبت پرشدن، بر ضریب انتقال حرارت بخش های تبخیرکننده و چگالنده و همچنین عملکرد کلی ترموسیفون می پردازد. بدین منظور یک نمونه آزمایشگاهی ترموسیفون، از جنس مس به قطر داخلی ۱۷/۵mm و قطر خارجی ۱۹mm و طول ۱m طراحی و ساخته شد. طول بخش های تبخیرکننده، بی دررو و چگالنده به ترتیب ۴۰، ۲۰ و ۴۰ cm بود. آب یون زدایی، با نسبت های پرشدن ۰/۳، ۰/۵ و ۰/۸ درون ترموسیفون توزیق شد. دمای نقاط مختلف ترموسیفون و آب ورودی و خروجی چگالنده و همچنین فشار بخار در انتهای بالایی ترموسیفون ثبت شد. درنهایت بالاترین عملکرد ترموسیفون بین این سه حالت در نسبت پرشدن ۰/۵ مشاهده شد. به علاوه، حداقل ضریب انتقال حرارت بخش های تبخیرکننده و چگالنده نیز در این محدوده قرار داشت.

**کلمات کلیدی** بازیافت انرژی، ترموسیفون، نسبت پرشدن، عملکرد، ضریب انتقال حرارت.

## The Effect of Fill Ratio on Performance and Heat Transfer Coefficient of Thermosyphon's Evaporator and Condenser

M. Rahimi\* and H. Mirshahi

Group of Chemical Engineering, Department of Engineering, University of Razi

**Abstract** Thermosyphons has a special position in field of energy recovery and saving regarding to their unique performance. In the present research, the effect of the fill ratio on the heat transfer rate in the evaporator and condenser sections as well as the overall performance of the thermosyphon was studied. For this purpose, a one meter copper thermosyphon tube with an inside and outside diameters of 17.5 and 19 mm was fabricated. The length of the evaporator, adiabatic and condenser sections were 40, 20 and 40 cm respectively. The deionizer water with the fill ratio of 0.3, 0.5 and 0.8 were used as working fluid in experiments. The temperature was recorded at various points on the thermosyphon as well as at the inlet and outlet streams of the condenser. The maximum performance among three cases was observed at the 0.5 fill ratio. In addition, the maximum heat transfer rate in the condenser and evaporator was happened in this ratio.

**Keywords** Energy Recovery, Thermosyphon, Fill Ratio, Performance, Heat Transfer Coefficient.

\* عهده دار مکاتبات

نشانی: کرمانشاه، دانشکده مهندسی، گروه مهندسی شیمی، مرکز تحقیقات CFD.

تلفن: ۰۸۳۱\_۴۲۷۴۵۳۰، دورنگار: ۰۸۳۱\_۴۲۷۴۵۳۰، پیام نگار: masoudrahimi@yahoo.com



## ۱\_ مقدمه

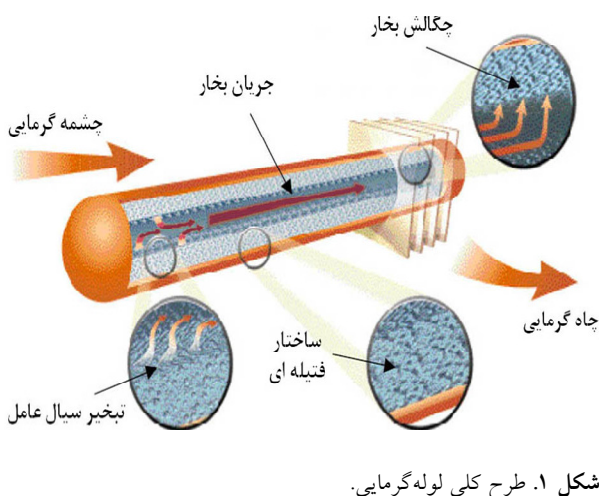
سادگی با مشاهده شکل ۱ دریافت می‌شود. گرما از راه یک چشم‌گرمایی خارجی به بخش تبخیرکننده اعمال می‌شود و از میان دیواره لوله و سازه فتیله‌ای هدایت شده و سبب تبخیر سیال عامل می‌شود. اختلاف فشار ایجادشده به دلیل تبخیر، موجب انتقال بخار، از میان بخش بی‌دررو به چگالنده می‌شود. درنهایت بخار، گرمای نهان تبخیر خود را به چاه گرمایی منتقل می‌کند و چگالیده می‌شود. فشار موینگی ایجادشده توسط سطوح هلالی فتیله، سیال چگالش یافته را به تبخیرکننده بر می‌گرداند. اجزای لوله‌گرمایی عبارت اند از ظرف آب‌بندی شده (شامل لوله و کلاهک‌های انتهایی)، سازه فتیله‌ای و مقداری سیال عامل (در تعادل با بخار خود تشکیل شده است) [۲].

ترموسیفون دوفازی بسته، یک لوله‌گرمایی بدون فتیله است (شکل ۲). عملکرد آن مشابه لوله‌گرمایی است، با این تفاوت که برای برگرداندن سیال چگالش یافته به تبخیرکننده، فقط از نیروی گرانش کمک می‌گیرد. از این‌رو، برای اینکه ترموسیفون عملکرد درستی داشته باشد، بخش چگالنده باید بالاتر از تبخیرکننده قرار گیرد. ترموسیفون‌ها، به دلیل بازده بالا،

نیاز روزافزون به انرژی و استفاده نادرست از منابع تجدیدناپذیر، موجب بحران انرژی شده است و از آنجاکه کلید توسعه صنعت، انرژی است، مباحثی همچون بهینه‌سازی مصرف انرژی، بازیافت و استفاده از انرژی‌های نو و تجدیدناپذیر اهمیت چشمگیری یافته است. در این میان، نحوه و کیفیت انتقال حرارت و عملکرد دستگاه‌های انتقال حرارت بسیار مهم است. درین سیستم‌های انتقال حرارت گوناگون، لوله‌گرمایی یکی از مؤثرترین سیستم‌های شناخته شده تا امروز است. برتری آن نسبت به روش‌های متدالوی دیگر این است که با یک سطح مقطع کوچک و در فاصله مناسب، بدون نیاز به واردکردن توان اضافی به سیستم، می‌توان مقادیر زیاد حرارت را با اختلاف دمای ناچیز منتقل کرد [۱].

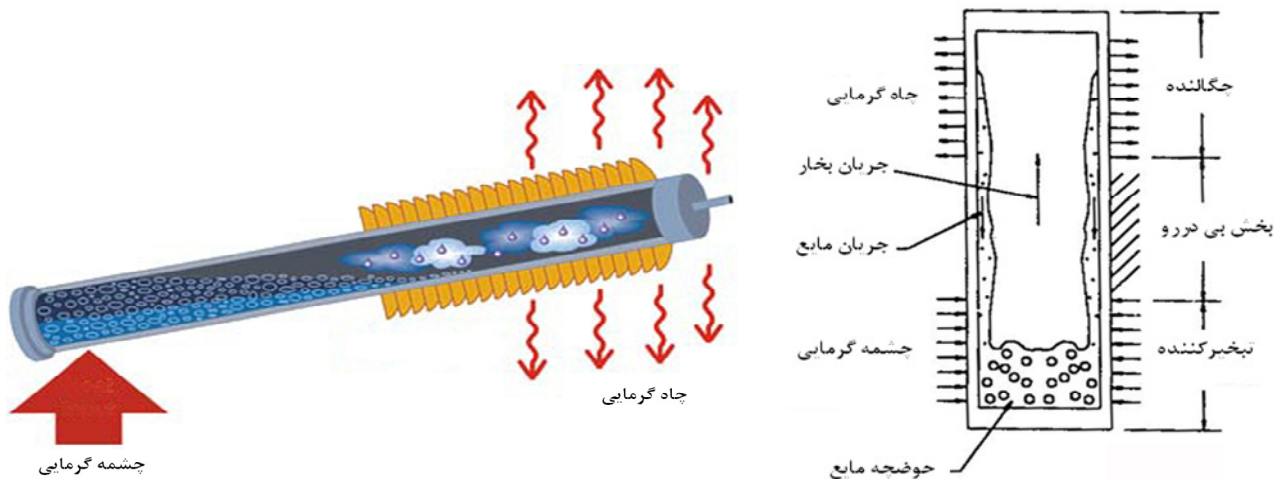
ایده اولیه لوله‌گرمایی<sup>۱</sup> را از لوله پرکینز<sup>۲</sup> گرفته‌اند، که حاصل یک سری اختراع خانواده پرکینز از اواسط قرن نوزدهم تا قرن بیستم در بریتانیا بود. اساس انتقال حرارت در این دستگاه‌ها تغییر فاز بود. امروزه به این دسته از لوله‌های گرمایی که سیال چگالش یافته، فقط به واسطه نیروی گرانش به تبخیرکننده بر می‌گردد، ترموسیفون دوفازی بسته<sup>۳</sup> می‌گویند [۲]. گاگلر<sup>۴</sup>، اولین لوله‌گرمایی را که از خاصیت موینگی برای انتقال سیال چگالش یافته کمک می‌گرفت، در سال ۱۹۴۴ اختراع کرد. با این همه، تا سال ۱۹۶۴ که گرور<sup>۵</sup> و همکارانش نشان دادند که هدایت گرمایی لوله‌های گرمایی حتی می‌تواند چندین برابر بهترین هادی‌های فلزی باشد، رونق چندانی نداشت. اصطلاح لوله‌گرمایی را نیز نخستین بار وی به کار برد [۱].

لوله‌گرمایی در یک چرخه دوفازی بسته عمل می‌کند و از گرمای نهان تبخیر برای انتقال حرارت با شبیه دمای بسیار کوچک ( $\frac{\Delta T}{\Delta x}$ ) استفاده می‌کند. نحوه عملکرد لوله‌گرمایی به



1. Heat Pipe.
2. Perkins.
3. Two Phase Closed Thermosyphon.

4. Gaugler.
5. Groer.



شکل ۲. ترموسیفون دوفازی بسته.

عملکرد گرمایی چند نانوسیال برپایه آب و آب خالص یون زدایی شده (به منزله سیال عامل)، را با هم مقایسه کردند. آنها مشاهده کردند که استفاده از نانوسیال‌ها با وجود افزایش ترکتندگی موجب افزایش مقاومت گرمایی و کاهش عملکرد ترموسیفون می‌شود. شار حرارتی بحرانی (CHF) ناشی از محدودیت طغیان ترموسیفون دوفازی بسته، برای محلولی از تری‌اتیلن گلیکول (TEG) و آب را، نانتافان<sup>۸</sup> و همکارانش، بررسی کردند [۱۲]. آنها پی برند که استفاده از محلول آب و TEG (بسته به مقدار TEG) به گسترش محدوده شار حرارتی بحرانی منجر می‌شود. استفاده نسبت مناسبی از این محلول در یک مبدل حرارتی، موجب بالارفتن عملکرد مبدل در دو حالت همسو و ناهمسو می‌شود. قابلیت کاربرد ترموسیفون‌های دوفازی بسته، در نقش ابزارهای انتقال حرارت بین محفظه احتراق و پخت در تنورها و کوره‌ها را سیلو<sup>۹</sup> و متلی<sup>۱۰</sup> [۱۳]، بررسی کردند. داده‌های تجربی نشان داد که ترموسیفون‌ها توزیع دمایی بسیار یکنواختی در محفظه پخت ایجاد می‌کنند، بی‌آنکه هیچ نقطه‌ای بیش از حد گرم شود آبرو<sup>۱۱</sup> و کول<sup>۱۲</sup> [۷]، رفتار گرمایی یک ترموسیفون دوفازی بسته با شکل غیرمعمول را در

قابلیت اطمینان، هزینه اندک و طراحی و ساخت ساده کاربردهای بسیار فراوانی یافته‌اند. این کاربردها شامل حفاظت از یخچال‌های دائمی طبیعی، یخ‌زدایی از بزرگراه‌ها، خنک‌کردن پره توربین، مبدل‌های حرارتی [۲]، سیستم‌های تهویه مطبوع [۵]، صنایع غذایی [۶]، انرژی خورشیدی [۸,۷] و کنترل دمای راکتورها [۹] می‌باشد.

یک مدل جامع برای بررسی اثر نسبت پرشدن (نسبت حجم سیال عامل به حجم تبخیرکننده) بر عملکرد انتقال حرارت حالت پایدار یک ترموسیفون عمودی را ژیاو<sup>۱۰</sup> و همکارانش عرضه کردند [۱۰]. آنها براساس توزیع لایه ریزان مایع و حوضچه مایع، سه نوع الگوی جریان و دو حالت گذرا در مدلشان مطرح کردند. مدل آنها سازگاری خوبی با داده‌های تجربی داشت. از طرف دیگر آنها دریافتند، که محدوده تقریبی نسبت پرشدن که بتواند ترموسیفون را در حالت پایدار و بهینه نگه دارد، به مرز بالایی EFR و مرز پایینی CFR بستگی دارد. EFR حالتی است که حوضچه مایع، کل تبخیرکننده را پر می‌کند و CFR حالتی است که ضخامت لایه مایع به حدی کاهش پاید که لایه مایع خشک شود. خنده کار<sup>۷</sup> و همکارانش [۱۱]

6. Jiao.

7. Khandekar.

8. Nuntaphan.

9. Silva.

10. Mantelli.

11. Abrero.

12. Colle.

تبخیرکننده ترموموسيفون پيچide شد. يك رئوستا با توان نهايی ۲KW برای تأمین توان ورودی به کار رفت. توان اعمال شده به تبخیرکننده با يك آمپرسنج و يك ولتسنج اندازهگيري و كنترل شد. بدین منظور، آمپرسنج به صورت سری و ولتسنج به صورت موازي در مدار قرار گرفت (شکل ۳ الف). توان ورودی به تبخیرکننده از اين رابطه محاسبه می شود:

$$Q_{in} = IV \quad (1)$$

I و V به ترتیب شدت جريان ورودی به گرمکننده برحسب آمپر و ولتاژ اعمال شده برحسب وات است.  
برای ایجاد خلا و تریق سیال عامل از روش بسیار ساده و متداول در ایران استفاده شد. در این روش، پس از تریق میزان مشخص سیال عامل (براساس نسبت پرشدن)، شیر تخلیه بسته می شود. با اعمال حرارت به بخش تبخیرکننده، سیال عامل شروع به تبخیر می کند و درنتیجه فشار درون ترموموسيفون افزایش می یابد. درنهایت سیال عامل به جوش می آید و بخار حاصل، هوای موجود در ترموموسيفون را به انتهای بالای چگالنده می راند و بلوکه می کند. در این لحظه با بازکردن شیر تخلیه برای چند لحظه، قسمت عمده هوای موجود در ترموموسيفون خارج می شود. باید توجه داشت که بلاfacسله پس از مشاهده بخار در خروجی شیر تخلیه، شیر بسته شود. حرکت جبهه بخار به سمت بالا با افزایش ناگهانی دما در بخش های بالایی کاملاً مشاهده می شود.  
برای هر سه نسبت پرشدن (۰/۳، ۰/۵ و ۰/۸)، سه توان ورودی ۳۵۰، ۵۰۰ و ۷۰۰W به بخش تبخیرکننده اعمال شد و این آزمایشها برای هر توان ورودی، در دو دبی حجمی ۷ و  $14\text{ cm}^3/\text{s}$  از آب خنککننده تکرار شد. دمای نقاط مختلف ترموموسيفون و همچنین دمای آب ورودی و خروجی چگالنده، پس از رسیدن به حالت پایدار اندازهگيري و ثبت شد.

دو حالت گذرا و پایدار به صورت تجربی بررسی کردند. چگالنده این ترموموسيفون، که برای استفاده در آبگرمکن خورشیدی خانگی طراحی و ساخته شد، نیم دایره ای بود؛ درحالی که تبخیرکننده آن به صورت مستقیم بود. نتایج تحقیق ایشان نشان داد که با افزایش دمای آب خنککننده ورودی به چگالنده یا کاهش طول تبخیرکننده، مقاومت گرمایی کل کاهش می یابد. کمترین شیب ( $30^\circ$ ) و نسبت پرشدن ۶۰٪ بهترین نتایج را دربرداشت ولی باید حد خشکی را نیز درنظر گرفت.

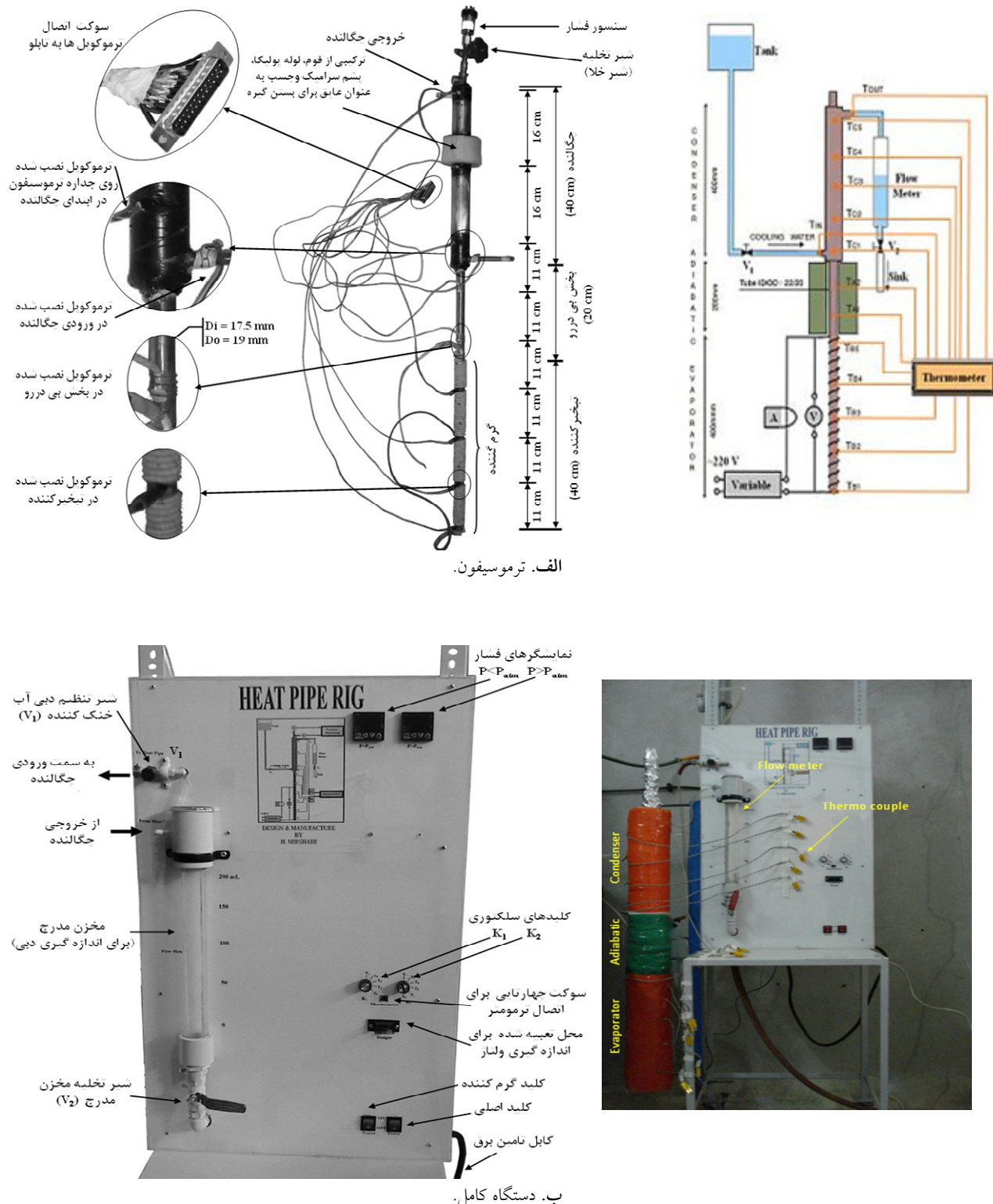
در این پژوهش اثر نسبت پرشدن ببروی عملکرد و ضریب انتقال حرارت تبخیرکننده و چگالنده یک ترموموسيفون دوفازی بسته بررسی شده است.

## ۲- نحوه انجام آزمایش

یک دستگاه ویژه برای انجام آزمایشها طراحی و ساخته شد. طرح کلی به همراه تصویری از دستگاه و ترموموسيفون ساخته شده در شکل ۳ آمده است.

ترموسيفونی از جنس مس، به طول ۱ m و قطر داخلی  $17/5\text{ mm}$  و قطر خارجی  $19\text{ mm}$  ساخته شد. يك لوله مسی به قطر  $4\text{ cm}$  و طول  $40\text{ cm}$  با تشکیل يك مبدل دولوله ای، نقش چگالنده ترموموسيفون را بازی می کند. طول بخش های تبخیرکننده، بی دررو و چگالنده به ترتیب  $40$  و  $20\text{ cm}$  است. دمای ۹ نقطه از جداره ترموموسيفون و همچنین دمای آب ورودی و خروجی چگالنده اندازهگيري و ثبت شد.

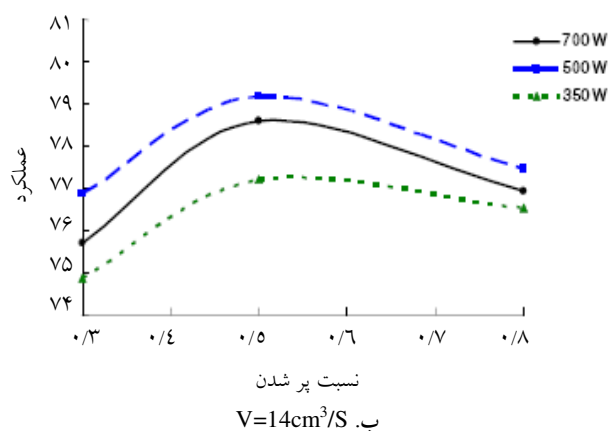
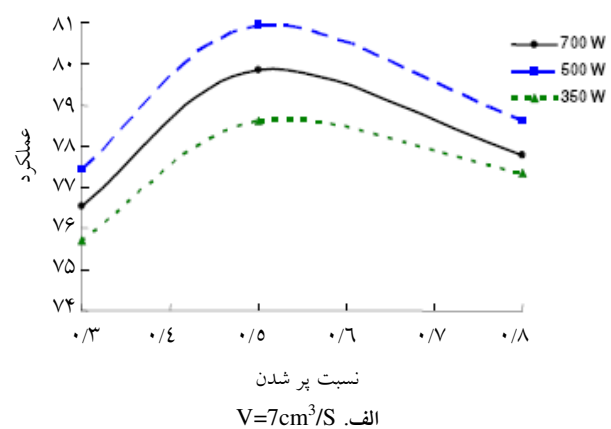
تمام ترموموکوپل‌ها از نوع K انتخاب شدند. يك حسگر فشار نیز برای اندازهگيري و ثبت فشار بخار در انتهای بالای ترموموسيفون نصب شد. برای اعمال حرارت به تبخیرکننده، از يك گرمکننده الکتریکی استفاده شد که به طور یکنواخت دور



شکل ۳. طرح کلی و تصویر واقعی از دستگاه ساخته شده ترمومیفون.

نسبت پرشدن ابتدا عملکرد ترموسیفون افزایش، و سپس کاهش می یابد (شکل ۴).

باتوجهه به شکل ۴ مشاهده می شود که مقدار بهینه ای از نسبت پرشدن برای به دست آوردن بیشترین عملکرد وجود دارد. در نسبت های پرشدن پایین به دلیل خشکی موضعی تبخیرکننده و بالارفتن مقاومت گرمایی ترموسیفون، عملکرد کاهش می یابد. پدیده خشکی وقتی رخ می دهد که لایه ریزان مایع قبل از رسیدن به انتهای تبخیرکننده ناپدید شود. در نسبت های پرشدن بسیار کم، این پدیده حتی به ترموسیفون آسیب می زند.



شکل ۴. عملکرد ترموسیفون بر حسب نسبت پرشدن در توان های ورودی مختلف.

برای محاسبه بار حرارتی چگالنده (توان خروجی) و عملکرد (کارآیی) ترموسیفون از این روابط استفاده می شود:

$$Q_{\text{out}} = \rho V c_p (T_{\text{out}} - T_{\text{in}}) * 10^{-6} \quad \text{رابطه (۲)}$$

$$\eta = \frac{Q_{\text{out}}}{Q_{\text{in}}} * 100 \quad \text{رابطه (۳)}$$

از روابط ۴ و ۵ برای محاسبه ضریب انتقال حرارت تبخیرکننده و چگالنده استفاده می شود:

$$h_e = \frac{Q_{\text{in}}}{A_e (T_e - T_v)} \quad \text{رابطه (۴)}$$

$$h_c = \frac{Q_{\text{out}}}{A_c (T_v - T_c)} \quad \text{رابطه (۵)}$$

به ترتیب دمای متوسط بخش های تبخیرکننده و چگالنده و  $T_v$  دمای بخار است، که برابر با دمای متوسط بخش بی دررو فرض شده است [۲]. بنابراین باتوجهه به شکل ۳ داریم:

$$T_e = \frac{T_1 + T_2 + T_3 + T_4}{4} \quad \text{رابطه (۶)}$$

$$T_c = \frac{T_7 + T_8 + T_9}{3} \quad \text{رابطه (۷)}$$

$$T_v = \frac{T_5 + T_6}{2} \quad \text{رابطه (۸)}$$

### ۳- نتایج و بحث

پس از انجام آزمایش ها مشاهده شد که برای تمامی حالت های شار حرارتی و دبی حجمی یکسان، با افزایش

نتایج نشان داد که افزایش توان اعمال شده به ترموسیفون نیز عملکرد را می‌افزاید. با این همه، افزایش بیش از حد، کاهش عملکرد ترموسیفون را درپی دارد (شکل ۴). به عبارت دیگر، توان ورودی به تبخیرکننده مقدار بهینه‌ای برای رسیدن به بیشترین عملکرد دارد. این مقدار بهینه برای کار حاضر  $W_{500}$  است. به دلیل نحوه خلاً ترموسیفون، همواره مقدار کمی هوا در ترموسیفون باقی می‌ماند. با توجه به اینکه، هوا در این محدوده دمایی، یک گاز چگالش ناپذیر است، با اشغال فضای بالای چگالنده، مانع تماس مستقیم بخار با جداره داخلی چگالنده می‌شود. افزایش توان ورودی موجب افزایش دمای تبخیرکننده را می‌افزاید و درنتیجه بر فشار بخار افروده می‌شود. با افزایش فشار، هوای اضافی به انتهای چگالنده رانده و بلوکه می‌شود. بدین ترتیب سطح تماس مؤثر چگالنده و درنتیجه عملکرد ترموسیفون افزایش می‌یابد. با افزایش بیشتر توان ورودی، چگالش بخار از نقطه بالاتری شروع می‌شود و با حرکت به سمت پایین ضخامت لایه مایع افزایش می‌یابد. افزایش ضخامت لایه، مانع تماس مستقیم بخار با جداره چگالنده می‌شود که افزایش مقاومت گرمایی چگالنده را درپی دارد و درنهایت عملکرد را می‌کاهد. با آب‌گریزکردن جداره داخلی چگالنده می‌توان بر این مشکل غلبه کرد. البته افزایش بیش از حد توان ورودی نیز موجب بروز پدیده‌های نامطلوبی همچون عبور از حد جوشش و طغیان می‌شود.

از مقایسه شکل ۴ الف با شکل ۴ ب مشاهده می‌شود که با سردشدن ترموسیفون یعنی افزایش دبی آب خنک کننده، عملکرد ترموسیفون کاهش می‌یابد. افزایش دبی آب جداره چگالنده را سرد می‌کند و درنتیجه دمای کل ترموسیفون کم می‌شود. کاهش دمای تبخیرکننده، با کاهش فشار بخار همراه است و درنهایت کاهش فشار منجر به گسترش فضای اشغال شده توسط هوای اضافی و کاهش سطح تماس مؤثر جداره چگالنده با بخار می‌شود و درنهایت عملکرد ترموسیفون را کم

این پدیده با افزایش بیش از حد دما در بخش تبخیرکننده مشاهده می‌شود.

با افزایش نسبت پرشدن، نقاط خشک با لایه‌ای از سیال عامل پوشیده می‌شود. از طرف دیگر، با توجه به نحوه ایجاد خلاً در ترموسیفون، همواره مقداری هوای اضافی درون ترموسیفون باقی می‌ماند. از این‌رو، افزایش نسبت پرشدن موجب افزایش حجم بخار و درنتیجه افزایش فشار بخار می‌شود. افزایش فشار باعث رانده شدن هوای اضافی به انتهای چگالنده می‌شود درنتیجه سطح تماس مؤثر بخار با جداره چگالنده افزایش می‌یابد که درنهایت افزایش عملکرد ترموسیفون را درپی دارد. با این همه، افزایش بیش از حد نسبت پرشدن، به علت فشار هیدرواستاتیکی بالاتر، پدیده تجمع حباب‌ها بر روی جداره داخلی ترموسیفون و در مراحل بعدی حد طغیان و خشکی را به دنبال دارد که عملکرد ترموسیفون را می‌کاهد. حتی در مواردی به ترموسیفون نیز آسیب می‌زند. تجمع حباب‌ها مانع تماس مستقیم سیال عامل با جداره تبخیرکننده شود. در این حالت، حباب‌ها مقاومت گرمایی تبخیرکننده را می‌افزایند که کاهش عملکرد ترموسیفون را درپی خواهد داشت. این پدیده با بالارفتن دمای تبخیرکننده قابل تشخیص است. در نسبت‌های پرشدن بالا، توده بخار بالارونده با فشار بخار بالا، جلوی برگشت مایع به تبخیرکننده را می‌گیرد و بخش‌های بالایی تبخیرکننده خشک می‌شوند. از طرف دیگر به دلیل مسدودشدن مسیر بخار با مایع برگشتی، بخار تازه به چگالنده نمی‌رسد و دمای آن کاهش می‌یابد. با گذشت زمان و سنگین شدن مایع بلوکه شده، مایع سقوط می‌کند و نقاط خشک را می‌پوشاند. این فرآیند به طور متناوب تکرار می‌شود. حد طغیان معمولاً با نوسان‌های شدید دما در طول ترموسیفون و لرزش و سروصدای همراه است. البته در این تحقیق، هیچ یک از این حدّها به صورت مطلق رخ نداد و فقط در مواردی به این محدودیت‌ها نزدیک شد.

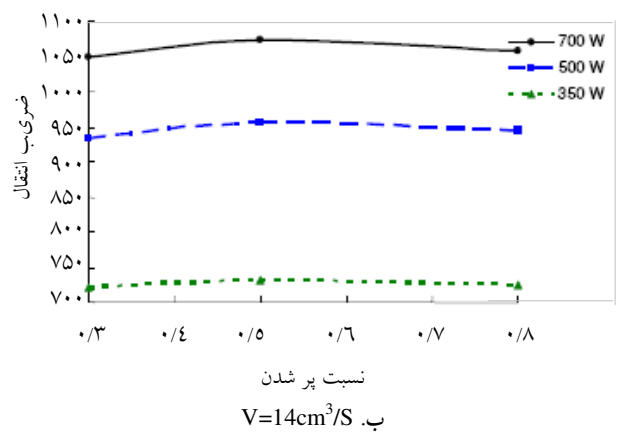
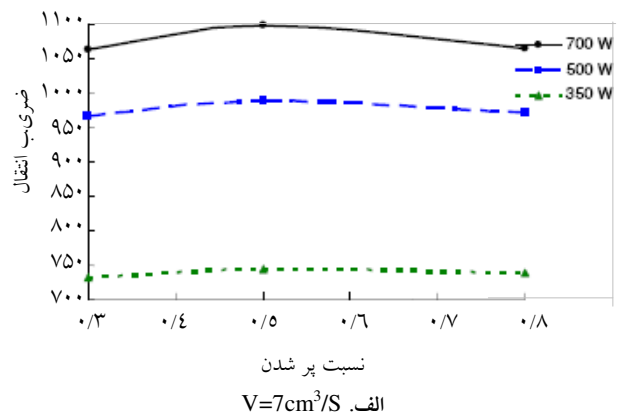
ورودی،  $h_e$  افزایش می‌یابد. با این همه، افزایش  $h_e$  متناسب با افزایش توان ورودی نیست. در شکل ۵ الف مشاهده می‌شود که با افزایش توان ورودی به میزان  $150\text{ W}$  (از  $350\text{ W}$  به  $W$ )،  $h_e$  به طور متوسط برای سه نسبت پرشدن، در حدود  $500\text{ W/m}^2 \cdot ^\circ\text{C}$ ،  $240\text{ W/m}^2 \cdot ^\circ\text{C}$  افزایش یافته است.

در حالی که در مرحله بعد، با افزایش توان ورودی به میزان  $W = 200\text{ W}$  (از  $500\text{ W}$  به  $700\text{ W}$ )،  $h_e$  به طور متوسط برای سه نسبت پرشدن، در حدود  $100\text{ W/m}^2 \cdot ^\circ\text{C}$  افزایش یافته است. با توجه به رابطه  $4$ ،  $h_e$  رابطه مستقیم با توان ورودی ( $Q_{in}$ ) و رابطه معکوس با اختلاف دمای متوسط بین بخش‌های تبخیرکننده و بی‌دررو ( $T_e - T_v$ ) و سطح جانبی تبخیرکننده دارد. با توجه به ثابت بودن سطح جانبی تبخیرکننده، مقدار  $h_e$  و  $Q_{in}$  می‌عامل تعیین‌کننده است. در توان ورودی  $700\text{ W}$ ، به دلیل نزدیک شدن به پدیده‌های نامطلوب نظری حد جوشش، دمای نقاطی از تبخیرکننده افزایش می‌یابد. این در حالی است که دمای بخش بی‌دررو افزایش بسیار کمی دارد. درنتیجه اختلاف دمای متوسط بین بخش‌های تبخیرکننده و بی‌دررو افزایش می‌یابد. با این همه، میزان افزایش  $Q_{in}$  در مقایسه با افزایش ( $T_e - T_v$ ) بیشتر است و درنتیجه مقدار  $h_e$  در  $700\text{ W}$  بیشتر از  $500\text{ W}$  است. با افزایش بیشتر توان ورودی، ( $T_e - T_v$ ) افزایش چشمگیری خواهد داشت که به کاهش  $h_e$  منجر خواهد شد. با اینکه  $h_e$  در توان ورودی  $700\text{ W}$  بیشترین مقدار را دارد، همانطور که گفته شد، حالت بهینه مربوط به توان ورودی  $500\text{ W}$  است، که بالاترین عملکرد و کمترین اختلاف دمای کل (اختلاف دمای متوسط بین بخش‌های تبخیرکننده و چگالنده ( $T_v - T_e$ )) را دارد.

در شکل ۵ مشاهده می‌شود، که نسبت پرشدن، تأثیر بسیار محسوسی بر  $h_e$  ندارد. با این حال، بیشترین مقدار  $h_e$  مربوط به نسبت پرشدن  $0/5$  می‌باشد. افزایش اولیه نسبت

می‌کند. باید توجه داشت که کاهش بیش از حد دبی آب خنک کننده، ممکن است به تشکیل حباب یا جوشش آب خنک کننده در پوسته چگالنده و مسدود شدن خروجی چگالنده منجر شود، که خطرات زیادی در پی خواهد داشت.

تغییرات ضریب انتقال حرارت تجربی تبخیرکننده ( $h_e$ ) بر حسب نسبت پرشدن برای توان‌های ورودی مختلف در شکل ۵ آمده است. نتایج نشان می‌دهد، که با افزایش توان



شکل ۵. ضریب انتقال حرارت تجربی تبخیرکننده بر حسب نسبت پرشدن برای توان‌های ورودی مختلف.

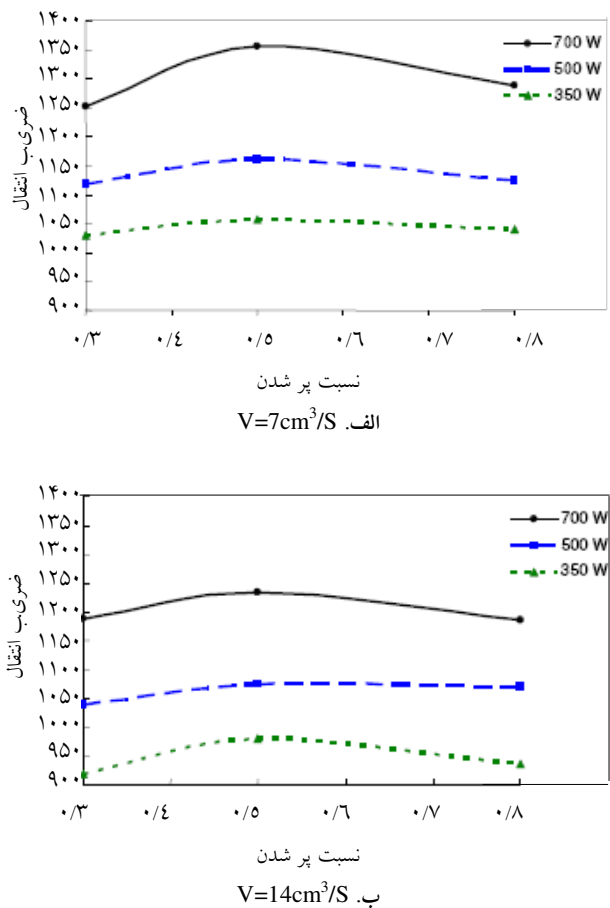
#### ۴\_نتیجه گیری

نتایج نشان می دهد که عملکرد ترمومویفون یک مقدار بهینه برای نسبت پرشدن، دارد. این مقدار برای ترمومویفون مطالعه شده و در محدوده مقادیر مطالعه شده  $0/5$  است. در این نسبت پرشدن کمترین اختلاف دمای کل (اختلاف دمای متوسط بین بخش های تبخیرکننده و چگالنده) مشاهده شد که حاکی از انتقال حرارت با راندمان بالاتر است. از طرف دیگر، در نسبت پرشدن  $0/5$ ، ضریب انتقال حرارت تجربی

پرشدن موجب پوشیده شدن نقاط خشک تبخیرکننده و کاهش دمای آن و درنتیجه کاهش اختلاف دمای متوسط بین بخش های تبخیرکننده و بی دررو می شود، که با توجه به رابطه ۴ به دلیل ثابت بودن سطح جانبی تبخیرکننده و توان ورودی به افزایش  $h_e$  منجر می شود. با افزایش بیش از حد نسبت پرشدن، ترمومویفون به سمت پدیده های نامطلوب هدایت می شود و به افزایش دمای تبخیرکننده و درنتیجه کاهش  $h_e$  منجر می شود. همچنین افزایش دبی آب خنک کننده  $h_e$  را می کاهد. دلیل این امر نیز افزایش  $(T_v - T_e)$  است که با توجه به ثابت بودن عوامل دیگر، ناشی از کاهش شدید دما در بخش بی دررو نسبت به کاهش دما در تبخیرکننده است.

تغییرات ضریب انتقال حرارت تجربی چگالنده ( $h_c$ ) بر حسب نسبت پرشدن در توان های ورودی مختلف برای دو دبی آب خنک کننده در شکل ۶ آمده است. در اینجا نیز رفتار مشابهی وجود دارد با این تفاوت که تأثیر نسبت پرشدن بر  $h_c$  محسوس تر از تأثیر آن بر  $h_e$  (شکل ۵) است و مقدار بهینه آن در نسبت پرشدن  $0/5$  مشهود تر است. افزایش نسبت پرشدن به معنی افزایش حجم بخار و درنتیجه کاهش حجم هواست. افزایش سطح تماس مؤثر دمای متوسط چگالنده را می افزاید و درنتیجه اختلاف دمای متوسط بین بخش های بی دررو و چگالنده ( $T_v - T_c$ ) را می کاهد، که با توجه به رابطه ۵ و ثابت بودن عوامل دیگر افزایش  $h_c$  را در پی دارد.

همان طور که قبلاً اشاره شد، این پدیده ها با افزایش دما در بخش های تبخیرکننده و بی دررو همراه است و از طرفی با اختلال در رسیدن بخار به چگالنده، دمای چگالنده را می کاهد. این تغییرات دمایی موجب افزایش  $(T_v - T_c)$  و درنتیجه  $h_c$  می شود. مشابه شکل ۵ در اینجا نیز افزایش توان ورودی موجب کاهش  $h_c$  می شود. افزایش دبی آب خنک کننده نیز به دلیل اینکه دمای چگالنده را بسیار می کاهد، کاهش ضریب انتقال حرارت را در پی دارد.



شکل ۶. ضریب انتقال حرارت تجربی چگالنده بر حسب نسبت پرشدن برای توان های ورودی مختلف.

$h_v$ : ضریب انتقال حرارت تجربی چگالنده ( $\text{W/m}^2 \cdot ^\circ\text{C}$ )؛ دمای متوسط بخش بی دررو ( $^\circ\text{C}$ ).  
 $h_e$ : ضریب انتقال حرارت تجربی تبخیرکننده ( $\text{W/m}^2 \cdot ^\circ\text{C}$ )؛ ولتاژ اعمال شده به گرمکننده ( $V$ ).  
 $I$ : شدت جریان ورودی به گرمکننده ( $I$ )؛ دمای حجمی آب خنککننده ( $\text{cm}^3/\text{s}$ ).  
 $Q_{in}$ : توان اعمال شده به گرمکننده ( $\text{W}$ )؛ عملکرد (کارآیی) ترموسیفون.  
 $Q_{out}$ : توان جذب شده توسط چگالنده ( $\text{W}$ )؛ چگالنده آب ( $\text{kg/m}^3$ ).  
 $T_c$ : دمای متوسط چگالنده ( $^\circ\text{C}$ ).

تبخیرکننده و چگالنده در بیشترین مقدار است. این مقدار بهینه برای  $h_e$  مشهودتر از  $h_v$  است.

با سردشدن ترموسیفون (افزایش دبی آب خنککننده یا کاهش توان ورودی)، عملکرد ترموسیفون کاهش می یابد. البته باید توجه داشت که افزایش بیش از حد توان ورودی به دلیل بروز حدهای جوشش، طغیان و خشکی عملکرد ترموسیفون را کم می کند. کاهش بیش از حد دبی آب خنککننده نیز با اختلال در حرکت آب درون پوسته چگالنده می تواند مشکلاتی در عملکرد ترموسیفون ایجاد کند.

نهایتاً، بررسی ها نشان می دهد که در محدوده توان ورودی مورد آزمایش، افزایش توان ورودی با افزایش ضریب انتقال حرارت تجربی تبخیرکننده و چگالنده همراه است. با این همه، مناسب‌ترین توان ورودی  $500\text{W}$  است که در آن بیشترین عملکرد و کمترین اختلاف دمای کل به دست آمد.

## مراجع

- Peterson, G.P., An Introduction To Heat Pipes, Modeling, Testing and Applications, John Wiley and Sons Inc., ISBN: 978-0-471-30512-5 (1994) 1.
- Faghri, A., Heat Pipe Science and Technology, Taylor and Francis, ISBN: 156-0-32383-3 (1995) 341.
- Gauglar, R.S., Heat Transfer Device, US Patent 2350348 (1942).
- Grover, G.M., Evaporation–Condensation Heat Transfer Device, US Patent 3229759 (1963).
- Wu, X.P., Johnson, P. and Akbarzadeh, A., “Application of Heat Pipe Heat Exchangers to Humidity Control In Air-Conditioning Systems”, *Applied Thermal Engineering*, Vol. 17 No. 6 (1997) 561-568.
- Silva, A.K. And Mantelli, M.B.H., “Thermal Applicability of Two-Phase Thermosyphons in Cooking Chambers: Experimental and Theoretical Analysis”, *Applied Thermal Engineering*, Vol. 24 No. 5 (2004) 717-733.
- Abreu, S.L. and Colle, S., “An Experimental Study of Two-Phase Closed Thermosyphons for Compact Solar Domestic Hot-Water Systems”, *Solar Energy*, Vol. 76, No. 1-3 (2004) 141-145.
- Kalogirou, S.A., “Solar Thermal Collectors and Applications”, *Progress in Energy and Combustion Science*, Vol. 30 No. 3 (2004) 231-295.
- Nayak A.K., Lathouwers, D., Van Der Hagen, T.H.J.J., Schrauwen, F., Molenaar, P. and Rogers, A., “A Numerical Study of Boiling Flow Instability of A Reactor Thermosyphon System”, *Applied Thermal Engineering*, Vol. 26 No. 5-6 (2006) 644-653.

## تشکر و قدرانی

بدین‌وسیله نویسنده‌گان این مقاله از شرکت ملی گاز استان کرمانشاه که این تحقیق را مورد حمایت مالی و معنوی خویش قرار دادند کمال تشکر و قدردانی را به عمل می‌آورندند.

## علام اخصاری

$A_e$ : سطح جانبی چگالنده ( $\text{m}^2$ )؛ دمای متوسط تبخیرکننده ( $^\circ\text{C}$ ).

$A_{in}$ : سطح جانبی تبخیرکننده ( $\text{m}^2$ )؛ دمای آب ورودی به چگالنده ( $^\circ\text{C}$ ).

$C_p$ : ظرفیت گرمایی ویژه آب ( $\text{J/kg} \cdot ^\circ\text{C}$ )؛ دمای آب خروجی از چگالنده ( $^\circ\text{C}$ ).

- Nanofluids”, *International Journal of Thermal Sciences*, Vol. 47 No. 6 (2008) 659-667.
12. Nuntaphan, A., Tiansuwan, J. and Kiatsiriroat, T., “Enhancement of Heat Transport in Thermosyphon Air Preheater at High Temperature with Binary Working Fluid: A Case Study of TEG–Water”, *Applied Thermal Engineering*, Vol. 22 No. 3 (2002) 251-265.
10. Jiao, B., Qiu, L.M., Zhang, X.B. and Zhang, Y., “Investigation on The Effect of Filling Ratio on the Steady-State Heat Transfer Performance of a Vertical Two-Phase Closed Thermosyphon”, *Applied Thermal Engineering*, Vol. 28 No. 11-12 (2008) 1417-1426.
11. Khandekar, S., Joshi, Y.M. and Mehta, B., “Thermal Performance of Closed Two-Phase Thermosyphon Using